



(11) RO 127778 B1

(51) Int.Cl.

G04G 3/00 (2006.01),
G04F 7/00 (2006.01),
H03L 7/26 (2006.01)

(12)

BREVET DE INVENTIE

(21) Nr. cerere: **a 2011 00157**

(22) Data de depozit: **21.02.2011**

(45) Data publicării mențiunii acordării brevetului: **29.11.2013** BOPI nr. **11/2013**

(41) Data publicării cererii:
30.08.2012 BOPI nr. **8/2012**

(73) Titular:
• UNIVERSITATEA TEHNICĂ "GHEORGHE ASACHI" DIN IAȘI,
BD.PROF.D.MANGERON NR.67, IAȘI, IS,
RO

(72) Inventatori:
• TEODORESCU HORIA-NICOLAI,
STR.NICOLAE BĂLCESCU NR.30, IAȘI, IS,
RO;
• HULEA MIRCEA, STR.I.C.BRĂTIANU
NR.36, BL.B 1, SC.B, AP.8, IAȘI, IS, RO

(56) Documente din stadiul tehnicii:
EP 0289385 A1; US 2008/0169826 A1;
RO 72443

(54) **METODĂ ȘI SISTEM DE MĂSURARE A INTERVALELOR DE TIMP**

Examinator: ing. ENEA FLORICA



Orice persoană are dreptul să formuleze în scris și motivat, la OSIM, o cerere de revocare a brevetului de inventie, în termen de 6 luni de la publicarea mențiunii hotărârii de acordare a acesteia

RO 127778 B1

1 Invenția se referă la o metodă și la un sistem de măsurare a intervalelor de timp într-o
2 gamă largă de valori, care este adaptată implementării pe microsisteme uzuale.

3 Sunt cunoscute mai multe metode de măsurare a intervalelor de timp și sisteme
4 electronice care implementează asemenea metode. Aceste metode sunt ușual împărțite în
5 următoarele categorii:

6 Metoda bazată pe numărarea impulsurilor provenite de la un oscilator (ceas) de
7 precizie în intervalul de timp de măsurat; această metodă este numită și metoda numărării.
8 Avantajul metodei numărării directe este acela că oferă posibilitatea măsurării intervalelor
9 lungi de timp, dar precizia măsurării este direct proporțională cu frecvența ceasului. Câteva
10 metode de îmbunătățire a acurateții de măsurare a intervalelor de timp folosind metoda
11 numărării sunt prezentate în lucrările: "Measurement Techniques", Volumul 23, nr. 7, publicat
12 în octombrie 2007, Ya. Mints, V. N. Chinkov, articolul "Accuracy of Time Interval
13 Measurement by Pulse Counting", pp. 603-606, "Measurement Techniques", Volumul 36,
14 nr. 12, publicat în 1993, O. N. Muzyhenko, articolul "Time and Frequency Measurements
15 Improving the Accuracy of Time Interval Measurements by Pulse Counting", pp. 1358-1362.

16 Metoda conversiei timp-tensiune (CTT) se bazează pe încărcarea unui condensator
17 pe durata evenimentului (intervalului de timp de măsurat), măsurarea tensiunii la care se
18 încarcă acel condensator și convertirea tensiunii în timp, conform funcției inverse a funcției
19 de încărcare. Încărcarea se poate produce printr-o rezistență de valoare ușual mare, conform
20 legii exponentiale de încărcare binecunoscute, sau cu ajutorul unui generator de curent
21 constant, caz în care încărcarea se produce liniar în timp. Implementări ale acestei metode
22 sunt descrise în brevetele de inventie **US 7460441 (B2)**, publicat la 2.12.2008 și **US 7330803**
23 (**B2**), publicat la 12.02.2008 și cererile de brevet de inventie **WO 9713198 (A1)**, publicată la
24 10.04.1997, **US 20080169826 (A1)**, publicată la 17.07.2008 și **US 3983481**, publicată la
25 28.09.1976. Metoda conversiei timp-tensiune constă în conversia timpului în amplitudine
26 (tensiune), urmată de conversia analog-digitală. Principiul de măsurare al acestei metode
27 constă în încărcarea unui condensator de precizie la un curent cunoscut pe toată durata
28 evenimentului extern care poate fi delimitat de un semnal digital generat, spre exemplu, de
29 un circuit monostabil. La finalul intervalului, potențialul corespunzător sarcinii acumulate în
30 condensator este măsurat folosind un convertor analog-digital (CAD). Deoarece tensiunea
31 de pe condensator este proporțională cu timpul de încărcare a acestuia, valoarea citită de
32 convertorul analog-digital permite determinarea duratei evenimentului. O altă abordare a
33 acestui mod de implementare a metodei CTT utilizează o sursă de tensiune fixă ce
34 realizează încărcarea condensatorului printr-o rezistență pe durata evenimentului de
35 măsurat. În acest caz, timpul poate fi extras din rezultatul conversiei analog-digitale
36 inversând legea exponentială de încărcare a condensatorului.

37 O variantă combinată a metodelor de mai sus este numită metoda extensiei
38 (expandării) intervalelor de timp și constă în încărcarea unui condensator pe durata
39 evenimentului, urmată de descărcarea condensatorului pe o rezistență de valoare mult mai
40 mare, sau cu ajutorul unui generator de curent de valoare mult mai mică decât la încărcare,
41 durata descărcării până la o valoare prefixată fiind măsurată cu metoda numărării. Metoda
42 expandării intervalelor de timp a fost introdusă în lucrarea Application Note AN1016,
43 Microchip Technology Inc, K. Blake, S. Bible, "Detecting Small Capacitive Sensors Using the
44 MCP6291 and PIC16F690 Devices", publicată în 2005.

45 Metoda Vernier în diverse variante este cunoscută din cererile de brevet de inventie
46 **WO 03081266 (A1)**, publicată la 02.10.2003, **US 2003006750**, publicată la 09.01.2003, **CA**
47 **2379071 (A1)**, publicată la 26.09.2002, **US 4908784**, publicată la 13.03.1990. Metoda
folosește doi oscilatori cu frecvență diferită și determinată, pe de o parte, prin numărare

RO 127778 B1

directă, numărul de perioade întregi ale unuia dintre oscilatori în intervalul dat și numărul de perioade ale celui de-al doilea, diferența dintre aceste numere determinând fracțiunea de interval de perioadă de tact rămasă nemăsurată pe baza primului oscilator. Dezavantajul metodei este costul și precizia relativ limitată a măsurării fracțiunii de interval.	1
Metoda liniilor de întârziere care se regăsește în cererile de brevet US 2010231437 (A1) , publicată la 16.09.2010, US 2003197498 (A1) , publicată la 23.10.2003, US 2002131035 (A1) , publicată la 19.09.2002, folosește linii de întârziere cu întârzieri cunoscute, dar diferite, prin care impulsul ce reprezintă evenimentul se propagă în paralel. Prin această metodă, se determină coincidențele impulsului la ieșire, pe diversele linii de întârziere paralele, astfel rezultând indirect durata evenimentului.	5
Metoda interpolativă, numită și metoda Nutt, combină o metodă de măsurare a intervalelor scurte de timp cu o metodă de măsurare a intervalelor lungi de timp. Metoda este descrisă în cererea de brevet de inventie GB 1487780 (A) , publicată la 05.10.1977.	7
Aceste metode au mai multe dezavantaje, cele mai importante dintre dezavantaje fiind enumerate în continuare.	9
Un dezavantaj al metodei numărării directe constă în aceea că sunt necesare generatoare de tact (ceasuri) de frecvență mare pentru a obține precizie bună, condiția fiind nerealizabilă sau greu realizabilă și costisitoare pentru intervale de timp foarte scurte, sub 10 ns, iar atunci când metoda se implementează cu ajutorul unor microsisteme uzuale, de tip microcontrolere, precizii sub 1 microsecundă sunt greu de obținut.	11
Alte dezavantaje ale metodei numărării directe apar atunci când aceasta se implementează folosind microcontrolere sau alte microsisteme care utilizează procedee de întreruperi sau utilizează monitorizarea în buclă pentru a răspunde la detecția începutului și a sfârșitului evenimentului. Un microcontroler necesită un anume timp pentru a începe tratarea unei rutine de întrerupere la apariția cererii externe, timp care este numit latență întreruperilor. Datorită acestei latențe care afectează pornirea numărătorului, numărarea întotdeauna este întârziată în mod semnificativ în cazul sistemelor de măsurare bazate pe microcontrolere, în cazul metodei numărării directe. În mod similar, există o întârziere a momentului opririi numărării, ce are loc după sfârșitul evenimentului. De exemplu, folosind un microcontroler condus de un quart de 40 MHz, pentru care durata de execuție a unei instrucțiuni cu durata de un ciclu mașină necesită 4 tacte, eroarea maximă corespunzătoare este de 500 ns. Aceste întârzieri nu pot fi total eliminate prin calcul deoarece latența întreruperilor are o variabilitate aleatoare datorită asincronismului dintre evenimentul intern și ciclurile mașină ale procesorului. Prin urmare, datorită incertitudinii duratei latenței întreruperilor, la orice procesor apar întârzieri variabile, cu o variație de un ciclu mașină sau mai mult și care constituie o cauză de eroare. Eroarea însumează variația de un ciclu mașină a timpului de răspuns al microcontrolerului la întreruperea externă pentru începutul evenimentului și variația de un ciclu mașină la sesizarea terminării evenimentului. Prin urmare, cea mai bună precizie care se poate obține folosind această metodă pe un microcontroler cu incertitudine a latenței întreruperii de un ciclu mașină este de doi cicli mașină. Aceasta corespunde, de exemplu pentru un microcontroler cu generator de tact de 40 MHz și cu ciclu mașină de 4 tacte, la o eroare de 200 ns.	13
Erorile de determinare a momentelor de început și sfârșit ale evenimentului sunt și mai mari decât cele descrise mai sus în cazul în care microcontrolerul acceptă mai multe tipuri de întrerupere, ierarhizate, iar întreruperile folosite pentru sesizarea evenimentului nu au prioritate maximă.	43
	45

În cazul metodei număririi implementată pe un microcontroler, prin creșterea frecvenței de tact, durata ciclului mașină descrește, ceea ce conduce la reducerea erorilor datorate întreruperilor. Acest mod de creștere a preciziei are dezavantajul că necesită microcontrolere mai rapide, ceea ce determină creșterea puterii consumate a sistemelor de măsurare.

Metoda conversiei timp-tensiune (CTT) are dezavantaje legate de plaja duratelor măsurate. Metoda nu este aplicabilă atunci când plaja de durate de măsurat este mare (de mai multe ordine de mărime) și precizia impusă este de asemenea mare, deoarece duratele mici impun condensatoare de valori mici cu încărcare rapidă, iar duratele mari necesită condensatoare de valori mari, cu încărcare lentă. Metoda conversiei timp-tensiune necesită și generatoare de curent de mare precizie cu comutare rapidă în circuit, sau rezistori de precizie pentru încărcarea condensatorului.

Dezavantajul metodei CTT este faptul că nu există posibilitatea măsurării duratelor foarte lungi și foarte scurte cu aceeași precizie folosind o singură valoare a capacitatii. Astfel, o capacitate de valoare redusă va permite creșterea preciziei de măsurare în detrimentul reducerii, ca urmare a atingerii valorii de încărcare maximă a condensatorului, a intervalului maxim ce poate fi măsurat. Pe de altă parte, creșterea valorii capacitatii determină creșterea limitei maxime a intervalului măsurabil, dar acest fapt determină reducerea preciziei de măsurare.

Metoda liniilor de întârziere are dezavantaje similare metodei CTT, anume nu este aplicabilă atunci când plaja de durate de măsurat este mare. În plus, metoda are un cost relativ ridicat.

Problema tehnică pe care o rezolvă prezenta inventie este măsurarea de precizie a intervalelor de timp care pot ocupa plaje largi de valori, de mai multe ordine de mărime, cu eroare independentă de lungimea intervalului de timp și compensarea erorilor specifice induse de funcționarea microsistemeelor.

Soluția problemei constă în aceea că se utilizează o metoda de tip iterativ, adaptată conform inventiei la utilizarea pe microsisteme, astfel încât erorile produse de variabilitatea timpilor de latență ai microsistemu și de asincronismul dintre eveniment și tactul unui număratör de măsurare a timpului să fie simultan minizate. În acest scop, conform inventiei, metoda se implementează pe un microsistem, de exemplu pe un microcontroler, dotat cu convertor analog-digital (CAD) sau cu o linie de întârziere, precum și cu un număratör intern. Duratele de timp în care număratörul nu este activat, datorită funcționării asincrone a acestuia față de impulsul de măsurat, sau datorită timpului de demarare și oprire a proceselor necesare activării și dezactivării număratörului printr-un proces de întrerupere sau de monitorizare în buclă sunt determinate printr-o metodă de măsurare de precizie a timpilor scurți, de exemplu prin metoda conversiei timp-tensiune, astfel încât să se eliminate erorile introduse de procesele de întreruperi sau de monitorizare în buclă, iar duratele de timp ale evenimentului în care număratörul este activat sunt măsurate prin metoda număririi, durata evenimentului fiind calculată pe baza timpilor individuali astfel măsurati.

Maniera hibridă iterativă de măsurare poate fi implementată folosind microcontrolere reduse ca preț, care includ un circuit de eșantionare-memorare și un convertor analog-digital intern sau extern, precum și folosind sisteme ASIC sau FPGA care includ linii de întârziere.

Metoda și exemplele nelimitative de realizare din prezenta inventie pot fi aplicate, respectiv, implementate, folosind circuite digitale existente, inclusiv microsisteme pe bază de microcontroler comercializate curent, precum și alte circuite existente, precum convertoare analog-digital, generatoare de curent comandate și linii de întârziere. Soluția constructivă particulară se poate determina folosind metode de proiectare asistată de calculator curente.

RO 127778 B1

Metoda de măsurare și sistemele de măsurare a intervalelor de timp, conform inventiei, au următoarele avantaje:	1
i) Permit realizări pe microsisteme uzuale, inclusiv în sisteme înglobate (numite și "embedded"), cu cost redus.	3
ii) Asigură o precizie ridicată.	5
iii) Asigură măsurarea într-o gamă largă de durate.	
Se dă în continuare un exemplu de realizare a inventiei în legătură cu figurile explicative, care reprezintă:	7
- fig. 1, o diagramă exemplificativă de subintervale de timp în cazul măsurării unui interval de timp prin metoda numărării directe, pentru cazul în care numărătorul este activat și, respectiv, dezactivat direct de impulsul de măsurat sau prin intermediul unui circuit de control care poate fi realizat cu un microsistem precum un microcontroler;	9
- fig. 2, un exemplu de diagramă de timp de funcționare a unui sistem de măsurare cu microcontroler folosit la implementarea metodei de măsurare, într-un exemplu nelimitativ de realizare, conform inventiei, pentru cazul în care o instrucțiune simplă durează un ciclu mașină de 4 perioade de tact, iar timpul de latență al unei intreruperi este de 3 sau de 4 cicli mașină și pentru cazul utilizării combinate a conversiei timp-tensiune și a metodei numărării directe, precum și atunci când durata evenimentului este măsurată folosind intreruperi de prioritate maximă;	11
- fig. 3, schema de măsurare prin metoda hibridă, conform inventiei, pentru cazul utilizării combinate a conversiei timp-tensiune și a celei de numărare directă, când pentru încărcarea capacitatii (4) se utilizează un generator de curent constant (8);	13
- fig. 4, schema de măsurare prin metoda hibridă, conform inventiei, pentru cazul utilizării combinate a conversiei timp-tensiune și a celei de numărare directă, când încărcarea capacitatii (4) se realizează printr-o rezistență (7) de la un generator de tensiune (1);	15
- fig. 5, schema bloc a sistemului de măsurare a timpului, în cazul în care la intrare se folosește un formator de impulsuri;	17
- fig. 6, exemplu nelimitativ de circuit de formare a impulsurilor dintr-un semnal analogic de intrare, precum și circuitul de conectare la un microsistem dotat cu circuit de eșantionare-memorare format din rezistență (7), comutatorul (2) și capacitatea (4) precum și cu convertor analog-digital (6).	19
Metoda de măsurare conform inventiei este descrisă în legătură cu fig. 1 și 2, în care notațiile sunt următoarele: Eveniment - un impuls binar care apare la intrarea sistemului de măsurare la un moment de timp nedefinit, oarecare și care are o durată necunoscută, sau un proces analogic care poate fi caracterizat printr-un asemenea impuls binar; t_E - durata evenimentului; F_{osc} - frecvența de tact a microsistemu folosit în măsurarea duratei evenimentului; linie execuție instrucțiuni μC - reprezentare convențională a unei succesiuni de instrucțiuni executate de microcontroler; t_N - timp măsurat prin metoda numărării cu ajutorul numărătorului intern; numărător de timp - semnalul ce incrementează numărătorul pe frontul pozitiv; t_{LH} - durata intervalului de timp măsurat prin metoda alternativă de măsurare pentru timpi scurți, precum metoda conversiei timp-tensiune, de la începutul evenimentului; t_{HL} - durata intervalului de timp măsurat prin metoda alternativă de măsurare, de la sfârșitul evenimentului; t_{IR1} - timpul scurs de la începerea tratării rutinei de intrerupere și momentul pornirii numărătorului; t_{IR2} - timpul scurs de la începerea tratării rutinei de intrerupere și momentul opririi numărătorului.	33
Metoda de măsurare conform inventiei combină într-o manieră care ia în considerare erorile care sunt introduse de funcționarea microsistemeelor curente, precum cele bazate pe microcontrolere uzuale, inclusiv erorile datorate latențelor și variabilității lor, o metodă de	41
	43
	45
	47

măsurare a intervalelor de timp mari, anume metoda numărării directe, cu o metodă alternativă de măsurare pentru intervale de timp mici, de mai mare precizie. Anume, metoda de măsurare, conform inventiei, combină aplicarea unei metode de măsurare a timpilor scurți, de exemplu a metodei CTT, pe durata intervalelor t_{LH} și t_{HL} din fig. 1, cu aplicarea metodei numărării pe intervale lungi ce au loc între intervalele t_{LH} și t_{HL} , intervale lungi care nu ar putea fi determinate cu o metodă specifică de măsurare pentru timpi scurți. Prin utilizarea metodei de măsurare a timpilor scurți se elimină erorile date de asincronismul evenimentului cu numărătorul și de variabilitatea latenței întreruperilor. Aplicarea metodei de măsurare a timpilor scurți este facilitată de faptul că pentru duretele t_{LH} și t_{HL} se cunoaște valoarea lor maximă.

În cazul exemplificat în fig. 2, metoda alternativă este considerată a fi metoda conversiei timp-tensiune, notațiile fiind conforme cu folosirea acestei metode. Cele două metode de măsurare sunt apelate succesiv, astfel încât în intervallele de timp t_{LH} și t_{HL} , în care metoda numărării directe este eronat inactivă sau eronat activă, metoda alternativă, de precizie este apelată și efectuează măsurătoarea de timp. În acest mod, sunt determinate trei valori de timp, anume valoarea T_1 obținută prin numărarea directă, valoarea T_2 obținută prin metoda alternativă, T_2 corespunzând valorii măsurate pentru t_{LH} conform fig. 2, precum și valoarea T_3 obținută prin metoda alternativă, T_3 corespunzând valorii măsurate pentru t_{HL} conform fig. 2. Valorile T_1 , T_2 și T_3 sunt folosite pentru determinarea timpului măsurat pentru evenimentul respectiv conform relației $T_m = T_1 + T_2 - T_3$. Operațiile de memorare a valorilor T_1 , T_2 și T_3 și calculul pentru T_m sunt efectuate de microsistem. Memorarea valorii T_1 se face pe durata evenimentului după pornirea numărătorului, restul operațiilor fiind executate după închiderea evenimentului, în pauzele dintre evenimentele ale căror dure se măsoară. Detaliile de programare corespunzătoare funcționării descrise mai sus sunt cunoscute inginerilor în domeniu.

Diagrama de timp corespunzătoare funcționării sistemului de măsurare conform acestei variante nelimitative de realizare este prezentată în fig. 2. Un ciclu mașină specific microcontrolerului considerat în acest exemplu nelimitativ durează 4 tacte de ceas. Inițierea conversiei precede momentul de pornire și, respectiv, oprire a numărătorului, iar întârzierile t_{IR1} și t_{IR2} se compensează reciproc prin scădere. Eroarea dată de variația latenței întreruperilor pentru exemplul din fig. 2, latență care este cuprinsă între 3 și 4 cicli mașină pentru cazul exemplificat în fig. 2, este eliminată prin metoda alternativă de măsurare, cu condiția ca instrucțiunile și ordinea lor de executare să fie ca în fig. 2, pentru a se asigura compensarea duratelor respective. Instrucțiunile executate și ordinea lor trebuie să fie astfel: inițializarea metodei rapide (alternative) și simultan cerere de întrerupere activate de evenimentul extern; începere efectivă a întreruperii, în care prima instrucțiune executată este startarea numărătorului, iar a doua instrucțiune oprește metoda alternativă; citirea primei valori rezultate din metoda alternativă, T_1 , precum și memorarea ei; setarea opțiunii de accept a întreruperii pe frontul descrescător al evenimentului; continuarea numărării pe o durată nedefinită, până dincolo de momentul apariției sfârșitului evenimentului, anume până când întreruperea de sesizare a sfârșitului evenimentului devine activă și se execută instrucțiunea de oprire a numărătorului.

Metoda alternativă reduce la un nivel neglijabil și eroarea de asincronism între tactul de numărare al numărătorului și evenimentul extern, deoarece defazajele respective sunt incluse în intervalele de timp măsurate de metoda alternativă.

Într-o variantă nelimitativă de realizare a sistemului de măsurare, conform inventiei, se utilizează ca metodă de măsurare a timpilor scurți metoda conversiei timp-tensiune, ca în fig. 3, 4 și 5.

RO 127778 B1

Într-un caz particular, nelimitativ de realizare, conform inventiei, se folosește metoda CTT bazată pe un condensator 4 încărcat printr-o rezistență 7 de către impulsul ce reprezintă evenimentul, conform fig. 3. O altă variantă nelimitativă de realizare, ilustrată în fig. 4, folosește un generator de curent 8 pentru încărcarea condensatorului 4 .	1
Condensatorul 4 , considerat aici a fi integrat în circuitul de eşantionare-memorare 9 este încărcat de un semnal digital de intrare care se află în starea 1 logic pe toată durata evenimentului și în starea 0 logic în rest. Acest semnal este conectat atât la pinul de întrerupere al microcontrolerului, cât și la intrarea analogică a circuitului de eşantionare-memorare intern. În momentul în care începe efectiv rutina de tratare a întreruperii, generată de debutul evenimentului, considerat aici a fi produs de formatorul de impulsuri 5 , în convertorul 6 începe atât conversia analog-digitală oprimând încărcarea condensatorului 4 prin deschiderea comutatorului 2 , cât și numărarea impulsurilor generatorului de tact. Încărcarea condensatorului, conform variantei de realizare din fig. 3, se face de la un generator de tensiune 1 . La finalul evenimentului, va avea loc activarea unei alte întreruperi generată de frontul descrescător al semnalului ce descrie evenimentul pentru a realiza o nouă conversie analog-digital și a opri numărarea. Comutatorul 2 este deschis numai pe perioada conversiei analog-digital, iar în rest este închis.	5 7 9 11 13 15 17
Prezentăm pentru o variantă nelimitativă de realizare elementele principiale ale implementării metodei hibride pe un microcontroler din seria PIC18FXXX. Sistemul de măsurare corespunde schemei din fig. 6, în care rezistența de încărcare a condensatorului de măsurare 4 este formată din grupul de rezistențe în serie R₁ și R₂ - în varianta ilustrată în fig. 6, sistemul acceptă la intrare semnale analogice, iar evenimentul constă în încadrarea semnalului de intrare între două valori prestabilite ale amplitudinii.	19 21 23
Pentru acest exemplu nelimitativ de realizare, pseudocodul instrucțiunilor critice pentru precizia măsurătorii care sunt executate în rutina de tratare a întreruperii este:	25
I1: pornire conversie AD;	25
I2: selectează pornire sau oprire numărător funcție de front eveniment: front pozitiv - început eveniment front negativ - sfârșit eveniment;	27
I3: pornire numărător pentru front pozitiv, respectiv, oprire numărător pentru front negativ;	29
I4: setare acceptare întrerupere pe frontul negativ / pozitiv;	31
I5: buclă așteptare finalizare conversie AD;	33
I6: citire și salvare valoarea dată de convertorul AD.	33
La ambele fronturi ale semnalului ce descriu evenimentul se execută aceleași instrucțiuni I1, I2 și I3 care, pentru un exemplul nelimitativ de realizare, necesită un singur ciclu mașină. Alternanța pornirii și, respectiv, opririi numărătorului se poate asigura și printr-o variabilă auxiliară ce memorează valoarea următoare a registrului de control al numărătorului. Modificarea conținutului variabilei auxiliare în funcție de starea curentă a numărătorului (pornit sau oprit) se realizează în acest caz în secvența de program necritică pentru precizia măsurătorii.	35 37 39
Metoda descrisă poate fi folosită numai atunci când durata impulsului măsurat acoperă durata execuției tuturor operațiilor menționate, anume timpul de conversie, durata deservirii întreruperii și durata a cel puțin unui impuls de numărare folosit la incrementarea numărătorului.	41 43
Într-un alt exemplu nelimitativ de realizare, conform inventiei, descris în legătură cu fig. 4, se folosește în cadrul metodei CTT un generator de curent 8 pentru încărcarea condensatorului 4 pe durata măsurătorii.	45 47

RO 127778 B1

1 Un exemplu de schemă bloc corespunzătoare acestui mod de realizare este ilustrată
2 în fig. 5, în care circuitul de eșantionare memorare include condensatorul **4** și comutatorul
3 **2** din fig. 3 și 4, iar microsistemul include microcontrolerul **11** care, la rândul lui, include
4 numărătorul și convertorul AD **6**.

5 Într-un alt exemplu nelimitativ de realizare, conform inventiei, evenimentul extern este
6 reprezentat de trecerea unui semnal de tip analogic printr-un interval de valori. În acest caz,
7 se folosește circuitul de intrare din fig. 6, circuit care constă într-un set de două
8 comparatoare **12** care determină pragurile intervalului de valori analogice prestatibil și
9 dintr-un circuit logic de coincidență **13**.

10 Într-un exemplu particular, nelimitativ de realizare, ilustrat în fig. 6, circuitul de intrare
11 utilizează comparatoare rapide **12** și o poartă logică TTL de tip AND **13** cu răspuns rapid, ce
12 realizează conversia într-un impuls digital a evenimentului analogic determinat de două valori
13 ale amplitudinii. Fig. 6 prezintă acest circuit extern de intrare, de tip formator de impuls **5** și
14 circuitul intern microcontrolerului de la intrarea convertorului analog-digital **6**, aşa cum acest
15 circuit apare de exemplu pentru cazul microcontrolerului PIC18F4480.

16 În toate aceste exemple de realizare, durata maximă pe care metoda de măsurare
17 a timpilor scurți trebuie să o măsoare este bine determinată și este egală cu suma dintre
18 durata variabilă a latenței întreruperilor, de exemplu 4 cicli mașină, durata unei semiperioade
19 a tactului de incrementare a numărătorului, ultima durată fiind datorată asincronismului dintre
20 acest tact și eveniment și durata instrucțiunilor executate până la pornirea numărătorului.
21 Dacă tactul de incrementare al numărătorului este același cu tactul microsistemului, o durată
22 de circa 10 cicli mașină este ușual acoperitoare pentru multe dintre microsistemele actuale
23 în aplicarea metodei descrise. Aceste considerente permit proiectarea completă a circuitelor
 care implementează metoda de măsurare a timpilor scurți.

Revendicări	1
1. Metodă de măsurare a intervalelor de timp, conform invenției, caracterizată prin aceea că , în scopul determinării duratelor evenimentelor, constă în contorizarea perioadelor de tact pe durata cuprinsă între sesizarea efectivă a începutului evenimentului și detectarea efectivă a sfârșitului evenimentului, utilizând un microsistem dotat cu numărător, în conjuncție cu o metodă alternativă, care asigură măsurarea cu precizie a timpilor mici pe duratele fracțiunilor de interval de măsurat în care numărătorul este inactiv, precum și pe durata de timp în care numărătorul este activ, deși evenimentul de timp s-a încheiat, microsistemul comutând rapid între cele două metode, timpul total măsurat fiind obținut ca suma timpului determinat de numărător și a timpilor determinați pentru situația de numărător inactiv pe durata impulsului extern, din care se scade timpul determinat pentru situația în care numărătorul este activ dincolo de momentul terminării evenimentului extern.	13
2. Metodă de măsurare a intervalelor de timp, conform revendicării 1, caracterizată prin aceea că metoda alternativă de măsurare determină intervalul de timp dintre începutul evenimentului și începerea efectivă a numărării, interval de timp care include fracțiunile de timp datorate asincronismului evenimentului cu tactul numărătorului și cu ciclii mașinăi microsistemului, precum și latențele variabile datorate fie unor procese de întrerupere fie unui proces de detecție în buclă de monitorizare a evenimentului extern, latențe care includ și latențele proceselor de întrerupere implicate.	15
3. Metodă de măsurare a intervalelor de timp, conform revendicării 1, caracterizată prin aceea că metoda alternativă de măsurare determină intervalul de timp dintre sfârșitul evenimentului și oprirea efectivă a numărării, interval de timp incluzând fracțiunile de timp datorate asincronismului evenimentului cu tactul numărătorului și cu ciclii mașinăi microsistemului, precum și latențele datorate fie unor procese de întrerupere, fie unui proces de detecție în buclă de monitorizare a evenimentului extern, latențe care includ și latențele proceselor de întrerupere implicate.	21
4. Metodă de măsurare a intervalelor de timp, conform revendicării 1, caracterizată prin aceea că utilizează ca metodă de măsurare a intervalelor de timp scurte în care numărătorul este inactiv pe durata evenimentului, precum și pe durata intervalelor în care numărătorul este activ după terminarea evenimentului, metoda conversiei timp-tensiune prin încărcarea pe durata evenimentului a unui condensator (4) printr-o rezistență de precizie (7).	29
5. Metodă de măsurare a intervalelor de timp, conform revendicărilor 1 și 2, caracterizată prin aceea că utilizează ca metodă de măsurare a intervalelor de timp scurte metoda conversiei timp-tensiune prin încărcarea pe durata evenimentului a unui condensator (4) folosind un generator de curent constant (8).	33
6. Metodă de măsurare a intervalelor de timp, conform revendicărilor 1 și 2, caracterizată prin aceea că utilizează ca metodă de măsurare a intervalelor de timp scurte metoda liniilor de întârziere.	37
7. Sistem de măsurare a intervalelor de timp, caracterizat prin aceea că include un formator de impulsuri (5) care produce semnalul de intrare binarizat de comandă a unui circuit ce implementează metoda de măsurare a timpilor mici, format dintr-un generator de curent (8), un circuit de eşantionare-memorare (9) și un circuit ce implementează conversia timp-tensiune (6), precum și niște circuite (11) care asigură măsurarea prin metoda numărării de către un sistem programabil dotat cu un numărător controlabil.	45

RO 127778 B1

(51) Int.Cl.

G04G 3/00 (2006.01);

G04F 7/00 (2006.01);

H03L 7/26 (2006.01)

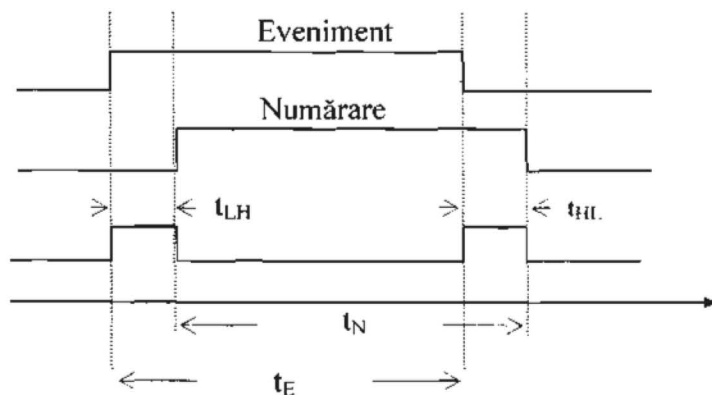


Fig. 1

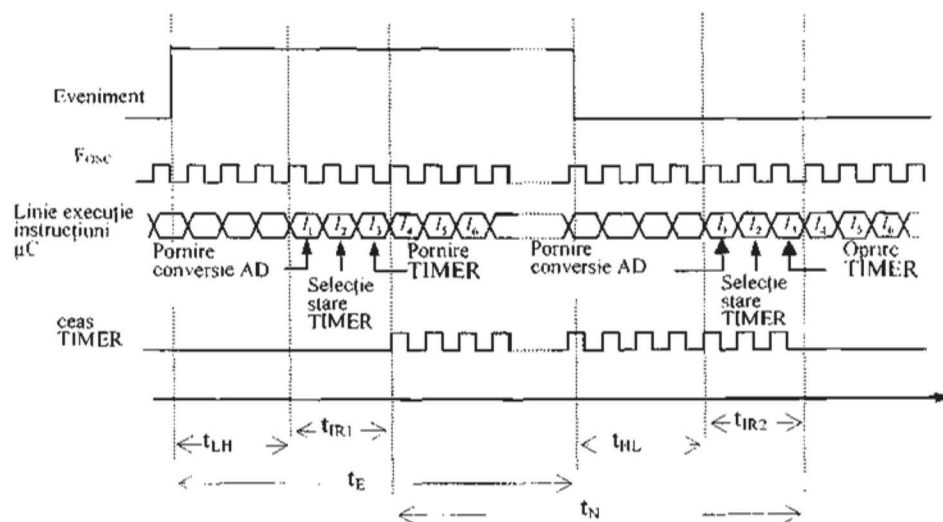


Fig. 2

(51) Int.Cl.

G04G 3/00 (2006.01),

G04F 7/00 (2006.01),

H03L 7/26 (2006.01)

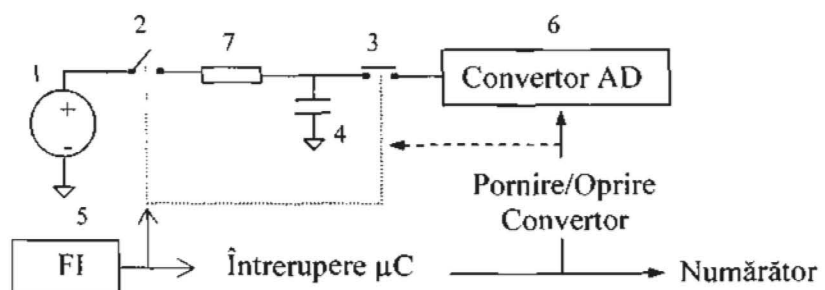


Fig. 3

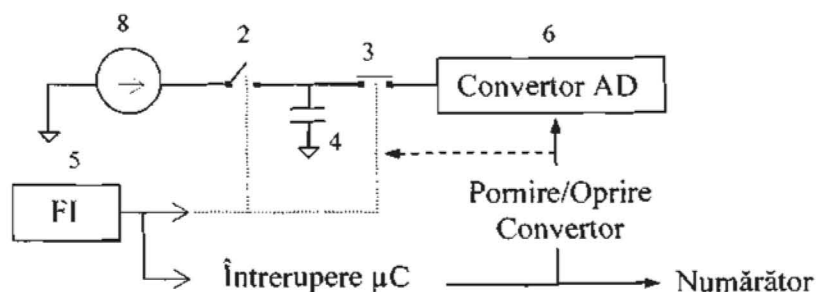


Fig. 4

(51) Int.Cl.

G04G 3/00 (2006.01),

G04F 7/00 (2006.01),

H03L 7/26 (2006.01)

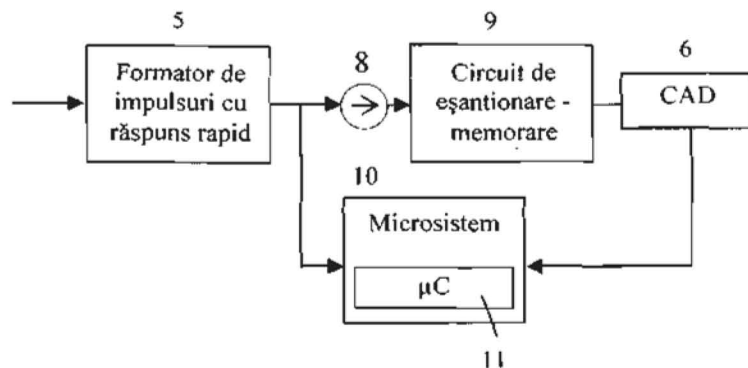


Fig. 5

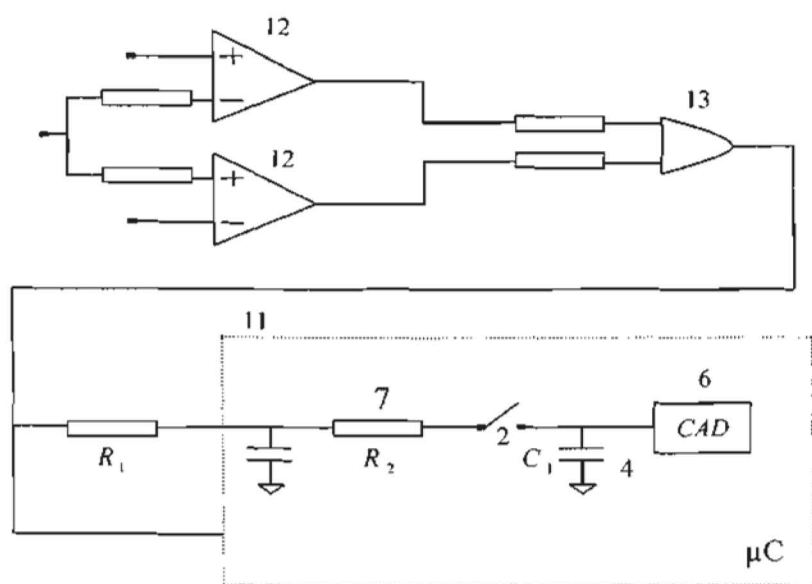


Fig. 6

